## Цеолиты в ГТС

Цеолиты находят широкое применение в качестве адсорбентов и катализаторов в процессах нефтепереработки, нефтегазохимии и тонкого органического синтеза, благодаря широкой вариабельности структур и химического состава, а также превосходной термической и гидротермической стабильности. Структура пор, химический состав, а также размер и морфология кристаллов — ключевые параметры, влияющие на селективность процесса, стабильность катализатора и выход целевого продукта. Например, в случае синтеза пара-ксилола из толуола проведение реакции в диффузионном режиме при использовании крупных кристаллов цеолита ZSM-5 способствует увеличению селективности, обусловленной геометрией пор цеолитного катализатора. Однако в большинстве реакций, особенно с участием крупных молекул, высокая степень использования катализатора и длительный срок его службы требуют снижения диффузионных ограничений за счет использования нанокристаллических цеолитов. Также, вследствие анизотропии диффузии внутри микропор цеолита форма кристаллов значительно влияет на их адсорбционные и каталитические свойства. Синтез кристаллов определенного размера требует умения пользоваться рычагами управления процессами зародышеобразования и роста кристаллов.

Группа темплатного синтеза имеет большой задел по синтезу различных структурных типов фазовочистых цеолитов (MFI, TON, MEL), силикоалюмофосфатов (CHA, AEL, AFI, AFO), а также полиморфов beta и ZSM-48 (Таблица 1). В ГТС накоплен богатый опыт в синтезе цеолитов с заданными свойствами — структурным типом, химическим составом, размером и формой кристаллов. Цеолитные материалы могут быть приготовлены в виде порошков, гранул и блоков требуемой формы, в том числе без связующего компонента, а также суспензий монодисперсных нанокристаллов.

В ГТС развиваются ресурсосберегающие подходы к синтезу цеолитных материалов — парофазная кристаллизация и бестемплатный синтез. Метод парофазной кристаллизации (ПФК) заключается в приготовлении и высушивании геля для синтеза цеолитного материала с последующей обработкой паром при повышенных температуре и давлении в условиях отсутствия прямого контакта твердой и жидкой фаз в автоклаве. Метод ПФК позволяет получать агрегаты из наноразмерных цеолитов различных структурных типов с высокой кристалличностью и высоким выходом, снизить затраты времени и энергии по сравнению традиционным гидротермальным синтезом, благодаря отсутствию стадии центрифугирования для отделения нанокристаллов.

Для синтеза многих структурных типов цеолитов, используемых в качестве катализаторов в нефтегазохимии, требуется использование молекулярных темплатов, таких как амины, аммониевые соли и основания и др. Высокая стоимость импортных темплатов, а также их токсичность и необходимость удаления из структуры цеолита путем прокаливания является лимитирующим фактором для производства цеолитов в России. Мы предлагаем бестемплатный цеолит ZSM-5 с модулем Si/Al=20 с узким распределением кристаллов по размерам (относительное стандартное отклонение <20%) и требуемым размером кристаллов (от 200 нм до 15 мкм).

ГТС имеет успешный опыт масштабирования синтезов цеолитов: SAPO-11 (автоклав 10 л, 1 кг SAPO за синтез) и бестемплатный ZSM-5 (автоклав 5 л, 0.5 кг цеолита за синтез).

Таблица 1. Цеолитные материалы, разработанные в группе темплатного синтеза.

Структурный тип/мерност ь/ размер микропор	Материал	Форма	Метод синтеза	Si/Al	Диапазон размера кристаллов, коэффициент вариации $(S_R)$ / диапазон $S_{\text{БЭТ}}$	Форма кристаллов
		порошок	ГТО	$\infty$	$2-5$ mkm/ $350-400$ m <sup>2</sup> / $\Gamma$	псевдосферическая
MFI/ 3D	силикалит-1	порошок	ПФК	$\infty$	50 - 100 нм/ $480 - 500$ м <sup>2</sup> /г	псевдосферическая
[100]		суспензия	ГТО	$\infty$	Диапазон 120 – 250 нм, $S_R < 10\%$	псевдосферическая
[100]: 5,1×5,5 Å	ZSM-5	порошок	ГТО	20 – 200	$0,5-5$ мкм/ $350-450$ м $^2$ /г	Псевдосферическая, «гробик», «яйца», «ёж»
[010]: 5,3×5,6 Å			ГТО латекс			3D макропористая структура
			ГТО <b>бестемплатный</b>	20	a = 3,3 - 14,3, b = 1,2 - 7,6, $a/b = 1,7 - 2,6, S_R < 20\%$	«гробик»

					а – длина, b – ширина	
					$350-370~\mathrm{m}^2/\Gamma$	
			ПФК <b>бестемплатный</b>	20	<100 нм	псевдосферическая
			ПФК	20 – 200	$50-100$ нм $480-500$ м $^2$ /г	псевдосферическая
		суспензия	ГТО	20 – 200	$120 - 250$ нм, $S_R < 10\%$	псевдосферическая
	Fe-силикалит-1	порошок	ГТО	1–2% Fe	4 - 5 мкм/ $350 - 380$ м <sup>2</sup> /г	псевдосферическая
			ГТО латекс	1,1 %	$150$ — $200$ нм/ $450$ — $550$ м $^2$ /г	3D макропористая структура
			ПФК	0,25 – 2,0 % Fe	$20 - 50$ нм/ $480 - 500$ м $^2$ /г	псевдосферическая
		суспензия/ порошок	ГТО	1,0 – 1,3 % Fe	$100-180$ нм/ $\approx 500$ м $^2$ /г	псевдосферическая
	Fe-ZSM-5	порошок	ГТО	1,0 % Fe, Si/Al = 20	4—5 мкм/ $350 - 400$ м <sup>2</sup> /г	псевдосферическая
	Ті-силикалит-1	порошок	ГТО	2 – 3 % Ti	0,3-0,4 MKM	псевдосферическая
Полиморф *BEA/ 3D	Бета	порошок	ГТО	50	0,5 – 3,0 мкм	псевдосферическая, усеченная бипирамида
<100>: 6,6×6,7 Å		суспензия/ порошок	ГТО	30	$80$ нм/ $520 - 550$ м $^2$ /г	псевдосферическая

[001]: 5,6×5,6 Å	Ті-бета	порошок	ГТО	1,5 –2,5 % Ti	0,1-0,4 мкм	
Композит	ZSM-5/бета	порошок	ГТО			«ядро-оболочка»
TON/ 1D [001]: 4,6×5,7 Å	ZSM-22	порошок	ГТО	25–100	5 – 40 мкм	«снежинка», «сноп»
Полиморф ZSM-48/1D 5,3×5,6 Å	ZSM-48	порошок	ГТО	40	> 5 mkm	«гантель»
MEL/ 3D 5,3×5,4 Å	ZSM-11	порошок	ПФК	60	$15$ — $20$ нм/ $\approx 500$ м $^2$ /г	псевдосферическая
CHA/ 3D 3,8×3,8 Å	SAPO-34	порошок	ГТО	0,1 - 0,3	$0,25-10$ мкм/ $520-700$ м $^2$ /г	кубическая
	SAPO-34	порошок	ПФК	0,15	$< 50$ HM/ $650 - 700$ M $^2$ / $\Gamma$	кубическая
AEL/ 1D 6,4×3,9 Å	SAPO-11	порошок	ГТО	0-0,15	$1-20$ мкм/ $290-330~{ m m}^2/{ m f}$	псевдосферическая, «шурупы», «палочки»
AFI/ 1D 7,3×7,3 Å	SAPO-5	порошок	ГТО			
AFO/ 1D 7,0×4,3 Å	SAPO-41	порошок	ГТО			

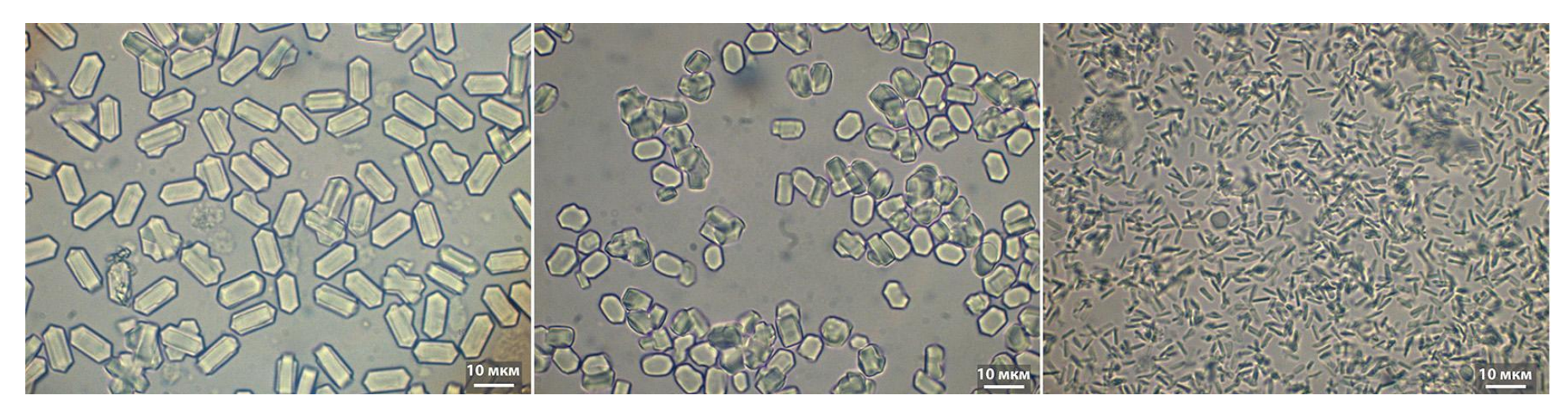


Рис. 1. Снимки оптической микроскопии бестемплатного цеолита ZSM-5 с модулем Si/Al = 20 с различными размером и аспектным соотношением.

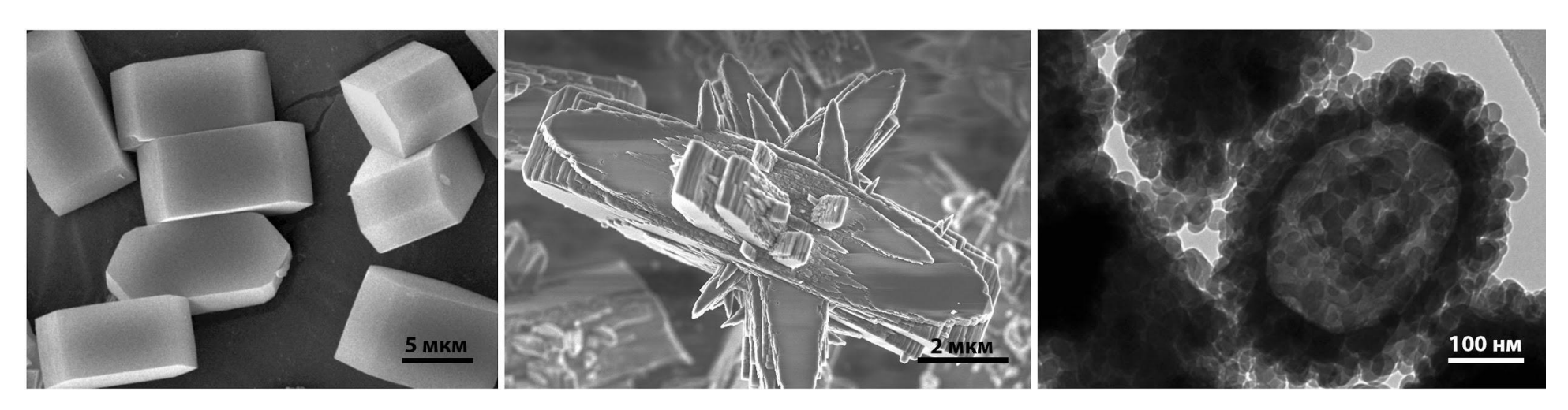


Рис. 2. Снимки микроскопии образцов цеолита ZSM-5 с различной формой кристаллов.

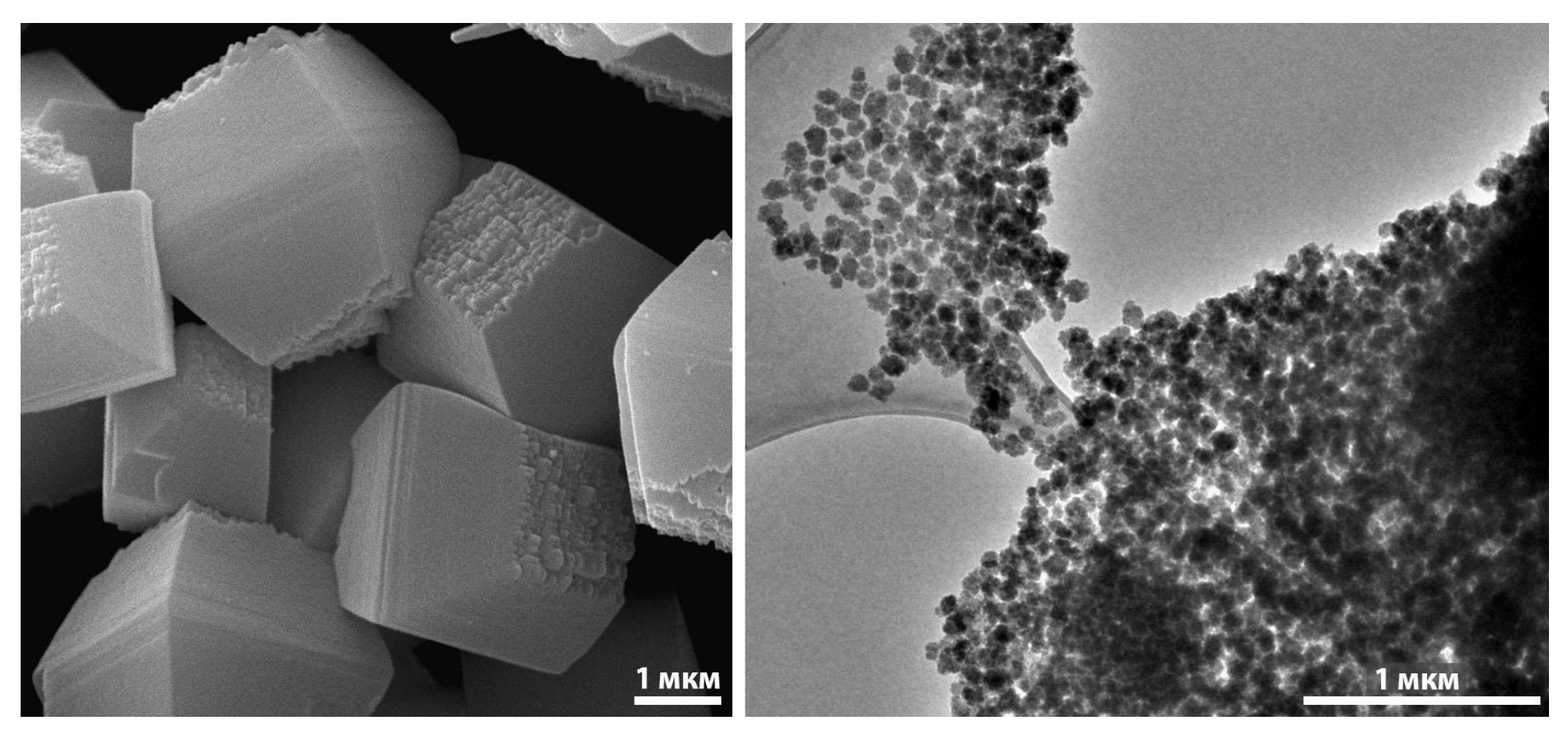


Рис. 3. Снимки микроскопии образцов цеолита бета с различным размером кристаллов.

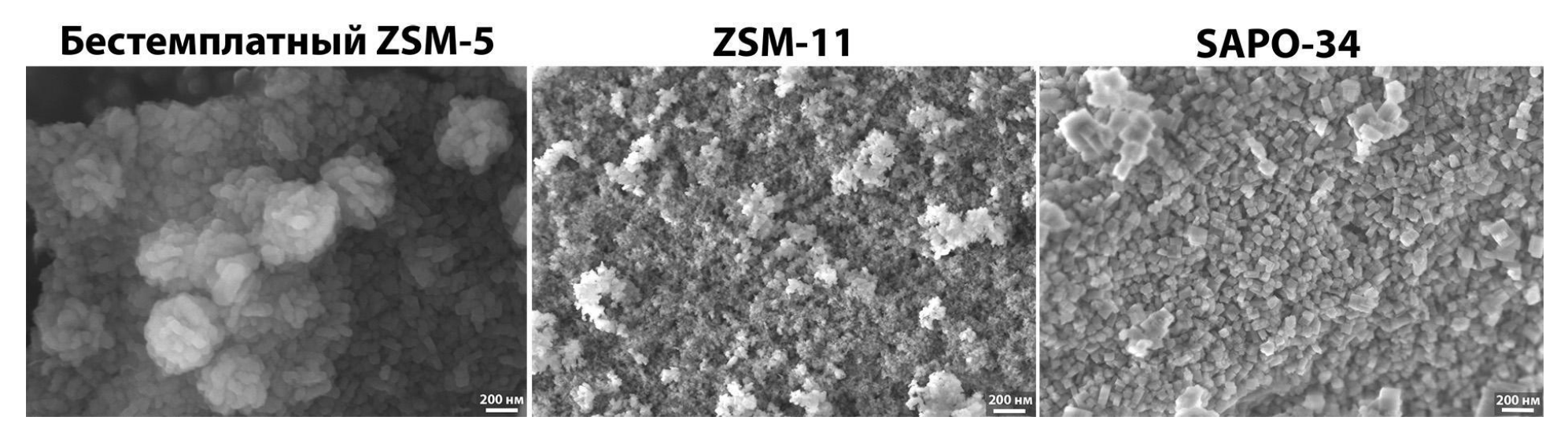


Рис. 4. Снимки сканирующей электронной микроскопии наноразмерных цеолитов, полученных методом парофазной кристаллизации.

## **ZSM-22**

## **ZSM-48**

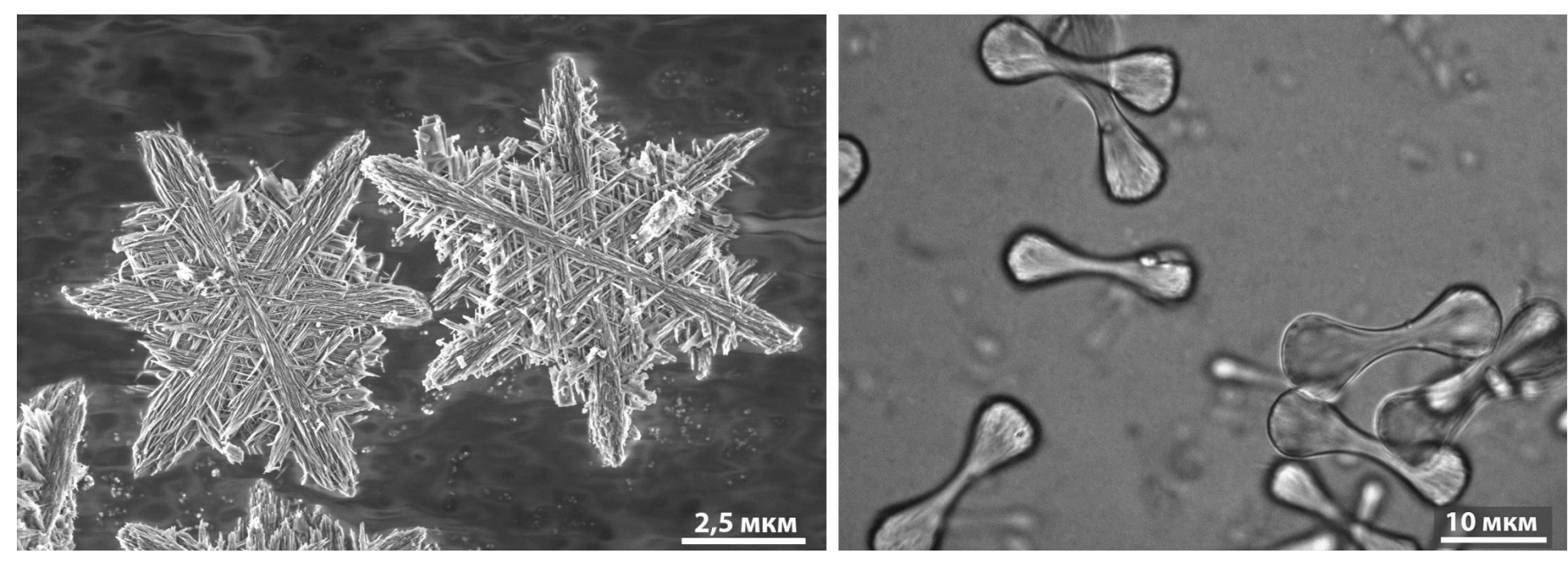


Рис. 5. Снимки микроскопии одномерных цеолитов.

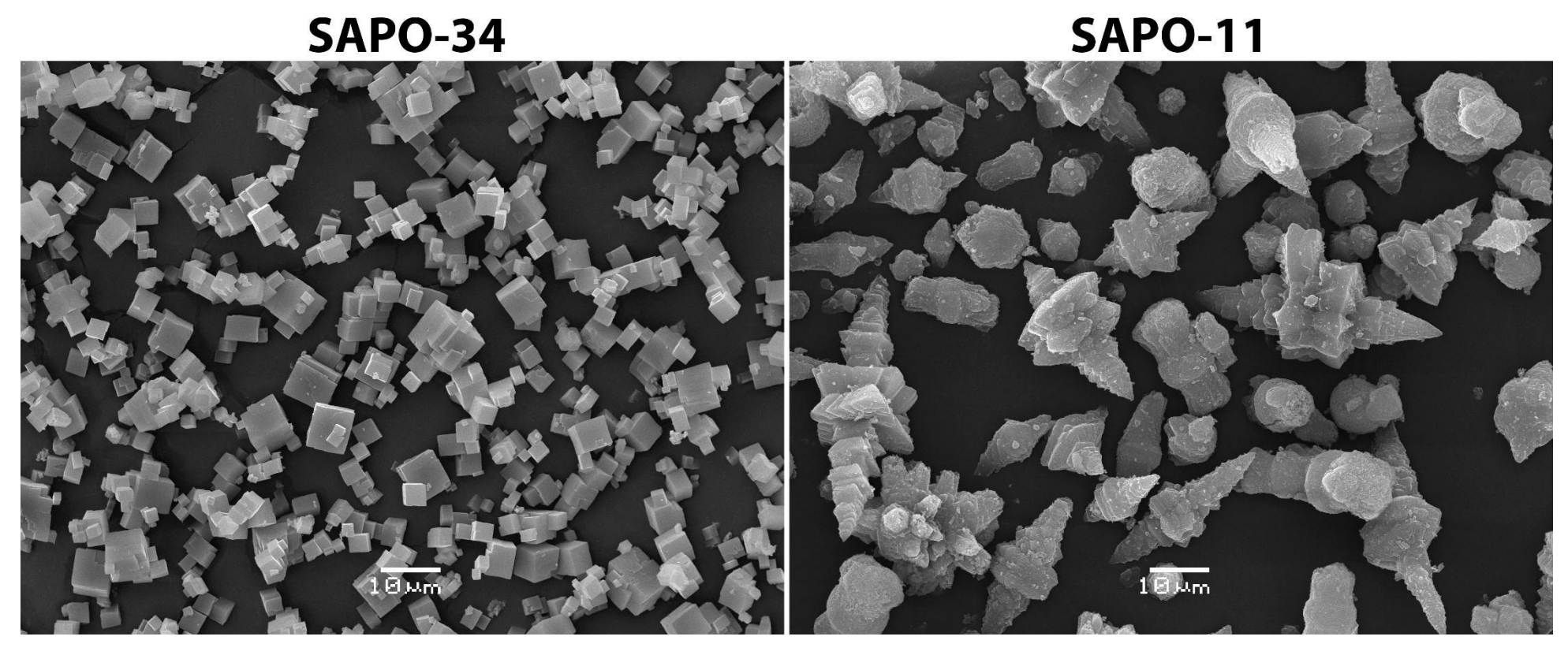


Рис. 6. Снимки микроскопии силикоалюмофосфатов.

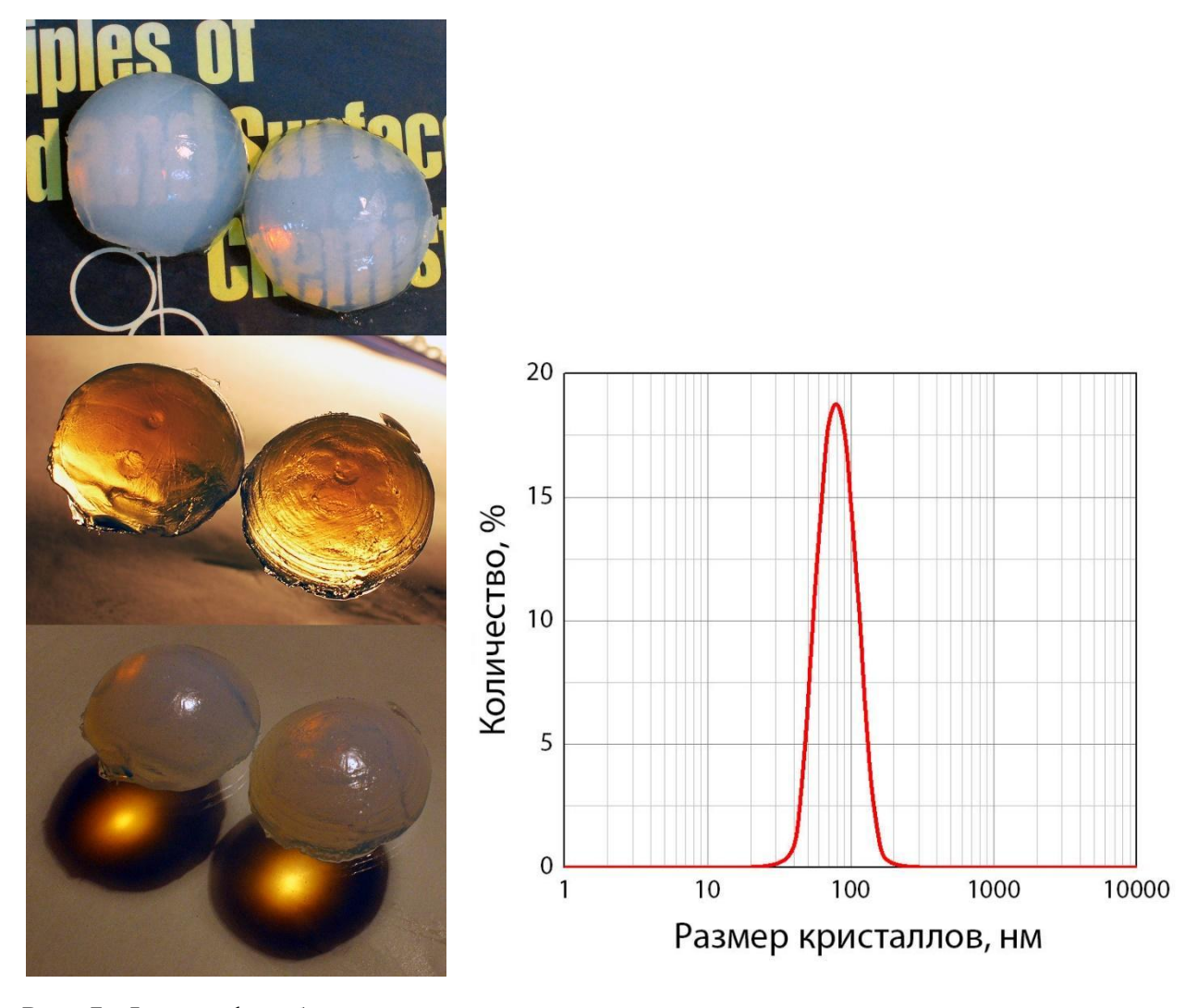


Рис. 7. Фотография блоков из плотно упакованных монодисперсных нанокристаллов цеолита бета и распределение частиц по размеру в суспензии.